

从毛发纤维中抽象出的分形几何与拓扑^{*}

殷雅俊^{1,2}, 杨帆¹, 李颖¹, 范钦珊²

(1. 清华大学 航天航空学院 工程力学系, 北京 100084;

2. 南京工业大学 力学部, 南京 211816)

(郑泉水推荐)

摘要: 以羊毛纤维和人类头发为原型, 以超级分形纤维概念为基础, 抽象出了(3)分圆和(9+2)分圆分形集, 构造了(3, 9+2)分圆和(9+2, 3)分圆双重分形集. 针对(9+2)拓扑花样, 证明了这样的命题: (9+2)拓扑花样精确地存在, 但不唯一, 其总个数为9, 其中有2种同素异构体, 即9种拓扑花样中, 只有2种是独立(或基本的). 另外证实了(3, 9+2)或(9+2, 3)分圆分形花样是一个对称性破缺的黄金分形.

关键词: 毛发纤维; (9+2)拓扑; 对称性破缺; 双重分形集; 分形几何

中图分类号: Q811.6; O184 **文献标识码:** A

DOI: 10.3879/j.issn.1000-0887.2009.08.004

引 言

近期, 我们在超级分形纤维^[1-4]的研究中取得了进展. 超级分形纤维, 是横截面为严格自相似分形图案的纤维, 与其对应的分形集, 称为超级分形集^[3]. 超级分形纤维虽然种类繁多, 但它们都是单重分形结构. 然而, 生物体中的纤维都是多重结构, 当其满足一定的自相似性时, 就构成多重分形结构. 因此, 有必要以生物纤维为参照, 将单重分形纤维扩展成多重分形纤维. 这构成了本文的研究动机.

论文包括4部分: 首先, 以羊毛纤维和人类头发为原型, 抽象出(3)分圆超级分形纤维和(9+2)分圆超级分形纤维; 其次, 基于(3)分圆和(9+2)分圆超级分形纤维, 构造出(3, 9+2)和(9+2, 3)分圆两种双重分形集; 再者, 证明了双重分形集中(9+2)拓扑花样的存在性和非唯一性; 最后, 揭示了(3, 9+2)和(9+2, 3)分圆双重分形集的“黄金属性”, 指出了这两种双重分形集源自(9+2)拓扑花样的破缺的对称性.

1 从毛发抽象出的分形集和双重分形集

动物毛发中, 羊毛^[5-6]和人类头发备受关注. 羊毛纤维(图1)和人类头发(图2)都是典型的多级结构, 二者最小的组元都是角蛋白, 其长链是典型的右手 α 螺旋. 从微观的角蛋白分

* 收稿日期: 2009-05-14; 修订日期: 2009-06-29

基金项目: 国家自然科学基金资助项目(10572076; 10872114); 江苏省自然科学基金资助项目(BK2008370)

作者简介: 殷雅俊(1964—), 男, 河南人, 教授, 博士, 博士生导师(联系人. Tel: +86-10-62795536; E-mail: yinyj@tsinghua.edu.cn).

子到宏观的毛发纤维, 一般有 6 级结构:

① α 螺旋角蛋白 \rightarrow ② 3 股 α 螺旋向左缠绕成 1 根原纤维 \rightarrow ③ 11 根原纤维排列成电缆式“9+2”型微纤维 \rightarrow ④ 微纤维结合成大纤维 \rightarrow ⑤ 大纤维组装成纤状细胞 \rightarrow ⑥ 纤状细胞组合成毛发纤维.

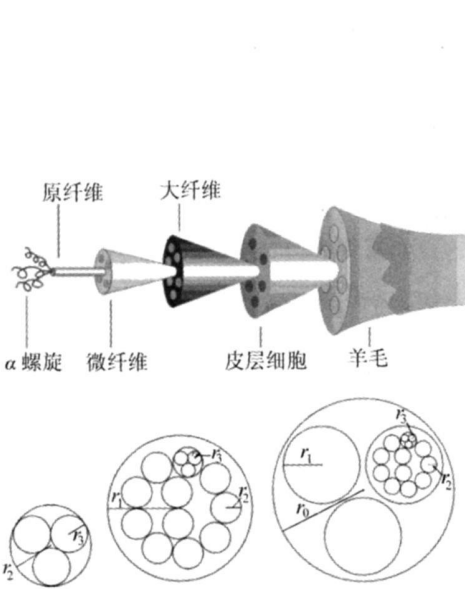


图 1 羊毛纤维的多级结构^[5-6]



图 2 人类头发的多级结构

不仅羊毛纤维和人类头发的多级结构很相似, 动物的毛发, 在多级结构的组织方式上, 都有相似之处. 这种广泛存在的相似性, 为我们提炼出具有普适意义的几何结构, 提供了参考.

原纤维(图 1、2 中的第 ②级结构) 普遍存在于动物的毛发中, 其横截面就是 3 条 α 螺旋的横截面. 如果每条 α 螺旋的横截面都被理想化为圆形, 圆形半径就是相邻两条 α 螺旋的相互作用半径, 则得到(3)分圆几何构图(即图 3(a)中的第一级结构). 如果以图 3(a)为基础, 以自相似的方式构造无穷多级结构, 则生成(3)分圆超级分形集, (即(3)分圆超级分形纤维的横截面^[31]).

微纤维(图 1、2 中的第 ③级结构) 也普遍存在于动物的毛发中, 其横截面是“9+2”几何图案. 类似地, 我们先将其理想化为(9+2)分圆(即图 4(a)中的第一级结构), 然后按照自相似规则无限推广, 构造出无穷多级的(9+2)分圆超级分形集(图 4). 当然, 我们也可以将图 4 视为(9+2)分圆超级分形纤维的横截面.

基于图 3 和图 4, 我们可以继续抽象和扩展: 将(3)分圆分形集和(9+2)分圆分形集交错混合排列, 生成“复合纤维”. 由于交错混合的起始方式有两种, 故复合纤维也有两种. 第一种复合纤维以(3)分圆为起始构型, 尺度从大到小, 排列成如下花样序列(图 5):

$$(3) \leftarrow (9+2) \leftarrow (3) \leftarrow (9+2) \dots$$

其含义是, (3)分圆纤维, 是由较细的(9+2)分圆纤维构成, 而较细的(9+2)分圆纤维, 又是由更细的(3)分圆纤维组成. 按照这样的模式无限循环, 就得图 5 中的无穷级复合纤维.

类似地, 第二种复合纤维以(9+2)分圆为起始构型, 尺度从大到小, 排列成如下的花样序列(图 6):

$$(9+2) \leftarrow (3) \leftarrow (9+2) \leftarrow (3) \dots$$

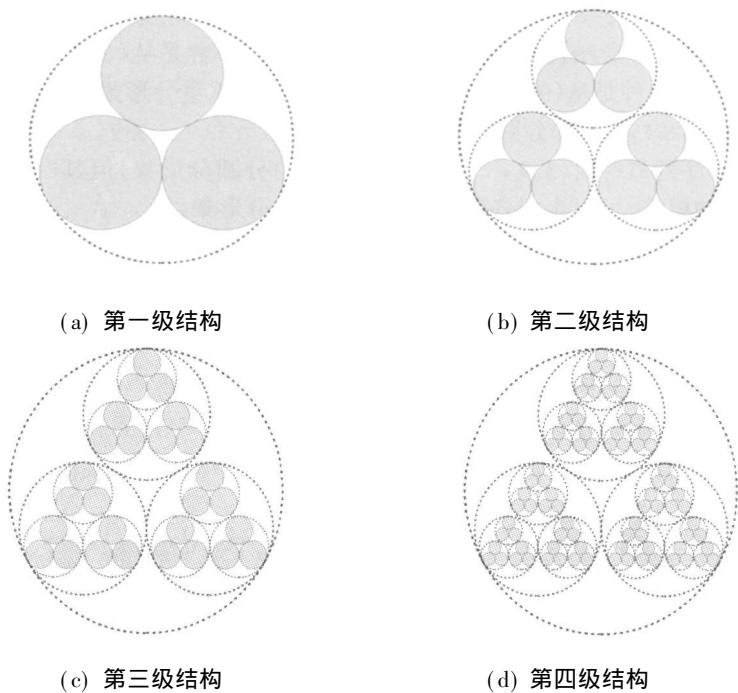


图3 (3)分圆超级分形纤维^[3]

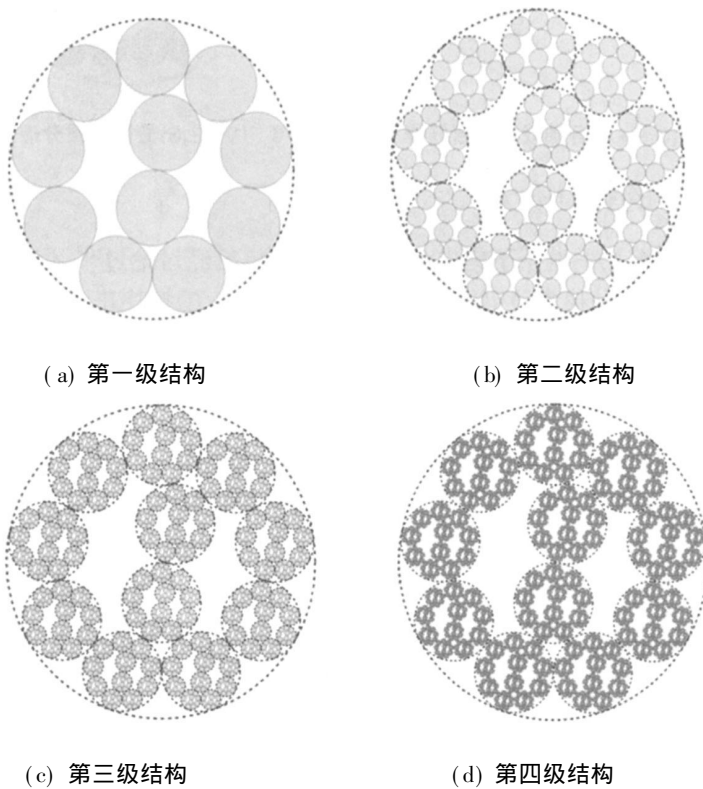


图4 (9+ 2)分圆超级分形纤维

其含义是, (9+ 2)分圆纤维, 是由较细的(3)分圆纤维构成, 而较细的(3)分圆纤维, 又是由更细的(9+ 2)分圆纤维组成. 按照这样的模式无限循环, 就得到图6中的无穷级复合纤维.

两种复合纤维都是分形结构. 由于包含了(3)分圆和(9+2)分圆两个单重的分形子集, 故两种复合纤维都是双重分形结构, 对应了两种双重分形集: 一种是从(3)分圆起始的(3, 9+2)双重分形集(图5), 另一种是从(9+2)分圆起始的(9+2, 3)双重分形集(图6). 或者说, 我们得到了(3, 9+2)分圆和(9+2, 3)分圆两种双重分形纤维.

尽管上述花样序列只针对(3, 9+2)分圆和(9+2, 3)分圆分形集, 但其“构造模式”却具有普遍意义: 用类似的模式, 可以生成各种各样的圆形双重分形集.

对于分形空间外部的观察者而言, 他从两种双重分形集中看到的构象是完全不同的, 或者说, 他看到的两种双重分形集是完全“异构”的; 然而, 对于分形空间内部的观察者而言, 他从两种双重分形集中看到的构象是完全一样的, 或者说, 他看到的两种双重分形集是完全“同构”的. 这种“相对性”, 在所有以上述模式构造的双重分形集中普遍存在.

双重分形纤维虽然是从毛发纤维中抽象出来的产物, 但并不代表真实的毛发纤维; 另一方面, 它们尽管不是生物学的实在, 但在分形几何和拓扑学上, 却都是真实的.

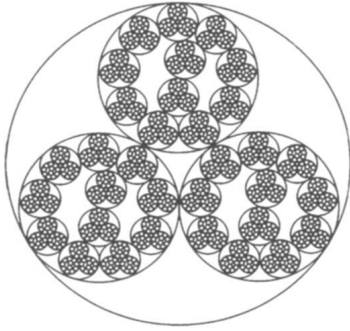


图5 (3, 9+2)分圆双重分形纤维

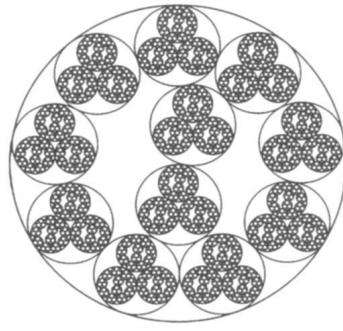


图6 (9+2, 3)分圆双重分形纤维

2 (9+2)花样的拓扑分析

双重分形集(图5, 6)的两个子集中, (3)分圆分形集已经讨论过^[3], 但(9+2)分圆分形集从未见于文献. 这个分形集最引人注目的地方, 是其(9+2)拓扑花样, 但(9+2)拓扑花样存在吗? 图4~图6毕竟只是几何作图的产物, 其直观性虽然有助于我们思考, 但不能代替证明. 换言之, (9+2)拓扑花样的存在性, 需要给出精确的论证.

为达成这一目标, 我们将存在性问题等价地转换成一个游戏问题: 设想有11个弹子小球, 其中的9个小球置于水平桌面上, 两两相切, 连接成封闭圆环. 余下的2个小球投入环内, 问题是, 这2个小球能够“刚好”嵌入环内吗? 如果答案是肯定的, 则(9+2)拓扑花样的存在性得证.

为便于求证, 我们再把游戏问题等价地抽象成一个几何证明问题: 连接9个成环小球的球心(图7(a)), 得正九边形 $ABCDEFGHI$. 分别以点 A, B 和 E, F 为顶点, 向正九边形内部作两个正三角形 ABJ 和 EFK , 然后连接点 J, K (图7(b)). JK 平行于 CD 吗? JK 等于 CD 吗? 如果答案是肯定的, 则(9+2)拓扑花样的存在性得证.

具体求证如下. 正九边形的9个内角之和为 1260° , 每个内角均为 $1260^\circ/9 = 140^\circ$. 由于

$$\angle ABC = \angle DEF = 140^\circ, \quad \angle ABJ = \angle FEK = 60^\circ,$$

则必有

$$\angle CBJ = \angle DEK = 80^\circ.$$

设正九边形的边长为 $2a$, 则有

$$BJ = BC = EK = ED = 2a.$$

于是, 连接 JC, KD (图 7(c)), 则必有

$$\triangle BJC \cong \triangle EDK, \angle BCJ = \angle EKD = 50^\circ, \angle JCD = \angle KDC = 90^\circ.$$

故有

$$JC \parallel KD, JC = KD,$$

亦即 $KDCJ$ 是矩形, 于是有

$$JK \parallel CD, JK = CD = 2a.$$

以图 7(b) 中的每个顶点为圆心, 以 a 为半径做圆, 可得图 7(d). 于是可知, $(9+2)$ 拓扑花样的确存在.

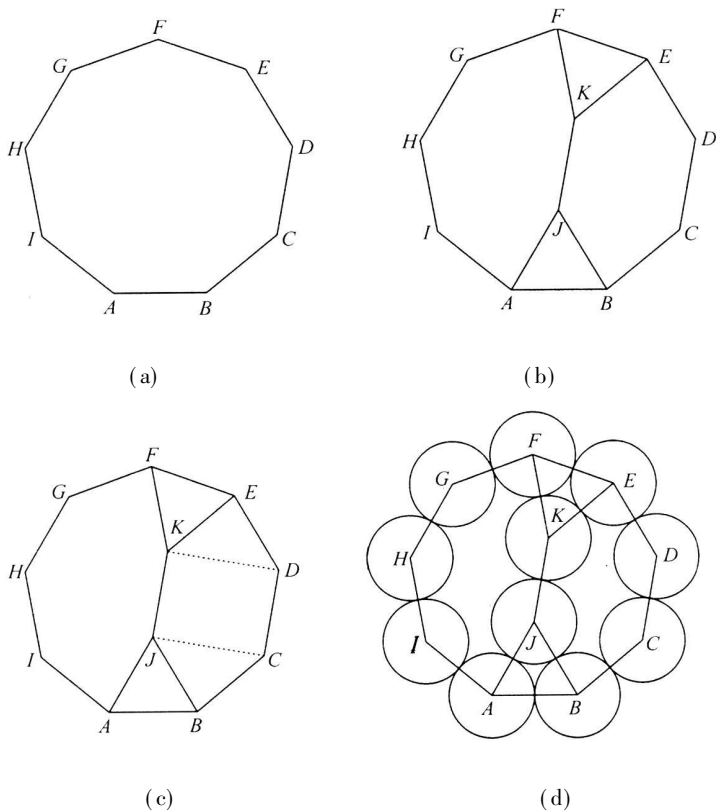


图 7 从弹子游戏中抽象出来的几何图案

解决了存在性问题, 还有唯一性问题: $(9+2)$ 拓扑花样唯一吗? 为回答这个问题, 我们稍微调整一下游戏规则: 成环的 9 个球 $A \sim I$ 和第 10 个球 J 均保持不动 (图 7(d)), 于是, 最后一个球“恰好”嵌入环内时, 球心的位置就有两个选择: 点 K 和 L (图 8 中的虚线). 换言之, $(9+2)$ 拓扑花样的解不具有唯一性, 对于固定的球 J , 有两个解.

既然 $(9+2)$ 拓扑花样非唯一, 那么它们总共有几种? 由于正九边形具有 9 根对称轴 (图 8), 因而球 J 在环内可以取 9 个不同的位置, 于是最后一个球 K 可能嵌入的位置个数为 $9 \times 2 = 18$. 注意到, 球 J 与球 K 互换并不改变拓扑, 故 $(9+2)$ 拓扑花样的总个数为 $18 \div 2 = 9$.

9 种拓扑花样中, 独立的有几种? 由上述分析可知, 独立拓扑花样只有图 8 所示的 2 种, 其它拓扑花样都可以通过旋转图 8 而得到. 我们将 2 种独立拓扑花样称为基本拓扑花样. 为

了恰如其分地描述这两种基本拓扑花样,我们引进一个名词——同素异构体. 有机化学中的同素异构体,表示同样的元素却生成了不同结构的有机大分子;本文中的同素异构体,表示同样的元素却生成了不同的几何拓扑结构. 可以说,两种基本 $(9+2)$ 拓扑花样,对应了两种同素异构体.

$(9+2)$ 拓扑花样及其同素异构体,揭示出正九边形拓扑镶嵌性质. 在边长为 $2a$ 的正九边形 $ABCDEFGHI$ 内(图7(b)), ABJ 和 EFK 是边长为 $2a$ 的两个正三角形, $BCDEKJ$ 是边长为 $2a$ 的等边六边形,而 $FGHIAJK$ 是边长为 $2a$ 的等边七边形. 于是,我们归纳出拓扑镶嵌性质:边长为 $2a$ 的正九边形,可以用边长为 $2a$ 的两个三角形、一个六边形和一个七边形覆盖.

正如 $(9+2)$ 拓扑花样不具有唯一性一样,正九边形拓扑镶嵌的方式也不具有唯一性:从图8(a)看出, FLG 是边长为 $2a$ 的正三角形, $FKJL$ 是边长为 $2a$ 的菱形, $GLJAH$ 是边长为 $2a$ 的等边六边形. 于是,我们进一步归纳出拓扑镶嵌性质:边长为 $2a$ 的正九边形,可以用边长为 $2a$ 的3个正三角形、1个菱形和2个六边形覆盖.

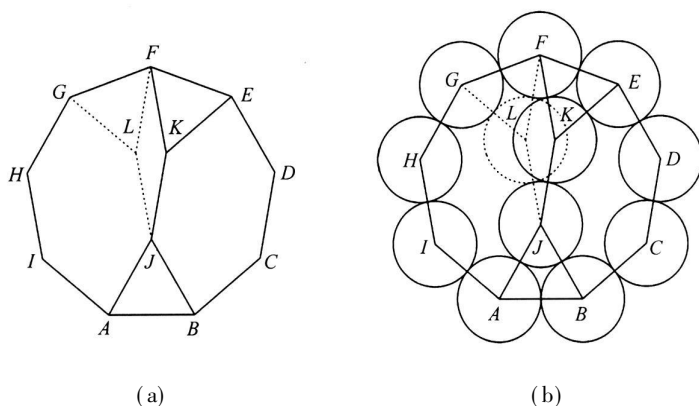


图8 独立的 $(9+2)$ 拓扑花样

3 对称性破缺的分形花样

两种基本 $(9+2)$ 拓扑花样(同素异构体),对应了两种对称性破缺. 由图8和图9看出, FJ 是正九边形的对称轴. 由前面的分析可知,一旦点 J 落在对称轴上,则点 K 只能落在对称轴的右侧,点 L 只能落在对称轴的左侧. 点 K 或点 L 偏离对称轴,就意味着打破了对称性,物理学中称之为对称性破缺. 我们将点 L 称为左侧破缺点,点 K 称为右侧破缺点. 于是,两种基本拓扑花样(同素异构体),对应了左、右两种形式的对称性破缺.

$(9+2)$ 拓扑花样的对称性破缺,使得包含该花样的任何分形集,都产生了对称性破缺. 理由如下:分形结构的自相似性,决定了分形花样拓扑传递的不变性,即低级结构的拓扑信息,能够不变地被传递到高级结构. 于是,在 $(9+2)$ 分圆、 $(3,9+2)$ 分圆和 $(9+2,3)$ 分圆分形集中,对称性破缺的拓扑信息,都被不变地逐级传递下去.

我们前期构造的超级分形纤维^[1-4]都是对称的. 实际上,经典分形几何中的规则分形集大都具有很好的对称性. 相较而言,像 $(9+2)$ 、 $(3,9+2)$ 和 $(9+2,3)$ 这样对称性破缺的分形花样,文献中难以见到. 但这并不降低它们的研究价值,因为对称性破缺毕竟是自然界(包括生物纤维)中普遍的客观实在.

4 从黄金分形到优化性质

(3, 9+ 2) 分圆和(9+ 2, 3) 分圆分形纤维(图 5 和图 6) 具有“黄金属性”. 其具体含义如下. 近期, 李颖和殷雅俊在研究双重分形纤维的力学性质时, 导出了双重分形集分形维数的表达式:

$$D_s = \frac{\ln(nn)}{\ln(1/(r r_s))}$$

在(3) 分圆分形子集(图 3) 中, 子结构个数 n 和自相似比 r_s 分别为

$$n = 3, r_s = \frac{1}{1 + 2/\sqrt{3}}$$

在(9+ 2) 分圆分形子集中(图 4), 子结构个数 n 为

$$n = 11.$$

我们对其自相似比 r_s 分析如下. 从精确的(9+ 2) 拓朴花样, 可以得到边长为 $2a$ 的正九边形外接圆的半径 r :

$$r = \frac{a}{\sin 20^\circ}$$

进一步可以求得(9+ 2) 分圆的外切圆(图 9) 半径 R :

$$R = a + r = a \left(1 + \frac{1}{\sin 20^\circ} \right)$$

于是图 4 中(9+ 2) 分圆分形花样的自相似比 r_s 为

$$r_s = \frac{a}{R} = \frac{1}{1 + 1/\sin 20^\circ}$$

进而求得(3, 9+ 2) 或(9+ 2, 3) 分圆分形集的分形维数 D_s :

$$D_s = \frac{\ln(11 \times 3)}{\ln(1/(r r_s))} \approx 1.6379.$$

注意到, 黄金数为 $\Phi = 1.618$, 故有 $D_s \approx \Phi$, 即(3, 9+ 2) 或(9+ 2, 3) 分圆分形集的分形维数约等于黄金数. 我们把这样的分形, 称为黄金分形.

He 等人证实^[5-6], 羊毛纤维(图 1) 之所以具有优化的传热性能, 是因为其分形维数接近黄金数; 数学中, 黄金数一般与某种优化性质关联. 这意味着: (3, 9+ 2) 分圆或(9+ 2, 3) 分圆分形纤维力学性质的优化, 就成为值得研究的课题. 我们将会在后期的论文中仔细探讨.

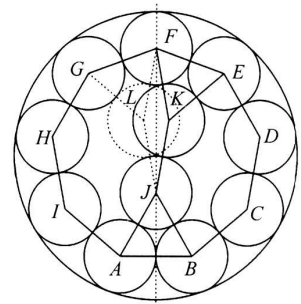


图 9 (9+ 2) 花样的外接圆

5 结 论

本文从毛发纤维中抽象出了(3) 分圆和(9+ 2) 分圆几何花样, 并用几何的方法, 证明了(9+ 2) 分圆拓朴花样的精确性. 研究表明: (9+ 2) 分圆是一个对称性破缺的几何结构; (9+ 2) 分圆分形集是一个对称性破缺的分形结构; 而(3, 9+ 2) 分圆和(9+ 2, 3) 分圆双重分形集不仅是对称性破缺的双重分形结构, 而且具有黄金属性. 这些结果, 为进一步研究毛发纤维结构与功能之间的关系, 提供了参考.

[参 考 文 献]

- [1] YIN Ya-jun, ZHANG Tong, YANG Fan, et al. Geometric conditions for fractal super carbon nanotubes with strict self similarities[J]. *Chaos, Solitons & Fractals*, 2008, **37**(5): 1257-1266.
- [2] YIN Ya-jun, YANG Fan, ZHANG Tong, et al. Growth condition and growth limit for fractal super fibers and fractal super tubes[J]. *International Journal of Nonlinear Sciences and Numerical Simulations*, 2008, **9**(1): 96-102.
- [3] YIN Ya-jun, YANG Fan, FAN Qin-shan, et al. Cell elements, growth modes and topology evolutions of fractal super fibers[J]. *International Journal of Nonlinear Sciences and Numerical Simulation*, 2009, **10**(1): 1-12.
- [4] YIN Ya-jun, YANG Fan, FAN Qin-shan. Isologous fractal super fibers or fractal super lattices[J]. *International Journal of Electrospun Nanofibers and Applications*, 2008, **2**(3): 193-201.
- [5] FAN Jie, LIU Jun-fang, HE Ji-huan. Hierarchy of wool fibers and fractal dimensions[J]. *International Journal of Nonlinear Sciences and Numerical Simulation*, 2008, **9**(3): 293-296.
- [6] HE Ji-huan, REN Zhong-fu, FAN Jie, et al. Hierarchy of wool fibers and its interpretation using E-infinity theory[J]. *Chaos, Solitons & Fractals*, 2009, **41**(4): 1839-1841.

Fractal Geometry and Topology Abstracted From Hair Fibers

YIN Ya-jun^{1,2}, YANG Fan¹, LI Ying¹, FAN Qin-shan²

(1. Department of Engineering Mechanics, School of Aerospace, AML,
Tsinghua University, Beijing 100084, P. R. China;

2. Division of Mechanics, Nanjing University of Technology, Nanjing 211816, P. R. China)

Abstract: Based on the concepts of fractal super fibers, the $(3, 9+2)$ -circle and $(9+2, 3)$ -circle binary fractal sets were abstracted from such prototypes as wool fibers and human hairs, with the (3) -circle and the $(9+2)$ -circle fractal sets as subsets. As far as the $(9+2)$ topological patterns are concerned, the following propositions were proved: The $(9+2)$ topological patterns accurately exist, but they are of no uniqueness. Their total number is 9. Among them there are only 2 allotropes. In another word, among the 9 topological patterns only 2 are independent (or fundamental). Besides, it was demonstrated that the $(3, 9+2)$ -circle and $(9+2, 3)$ -circle fractal sets are golden ones with symmetry breaking.

Key words: hair fibers; $(9+2)$ topological patterns; symmetry breaking; binary fractal sets; fractal geometry